

Formkoexistenz

Ein paar Gedanken zur Einführung ...

- Restwechselwirkung zwischen Protonen und Neutronen treibt Deformation
- Art und Stärke der Restwechselwirkung hängt von der Konfiguration ab

⇒ verschiedene Konfigurationen in einem Kern können verschiedene Deformation haben

⇒ Formkoexistenz

Kerndeformation

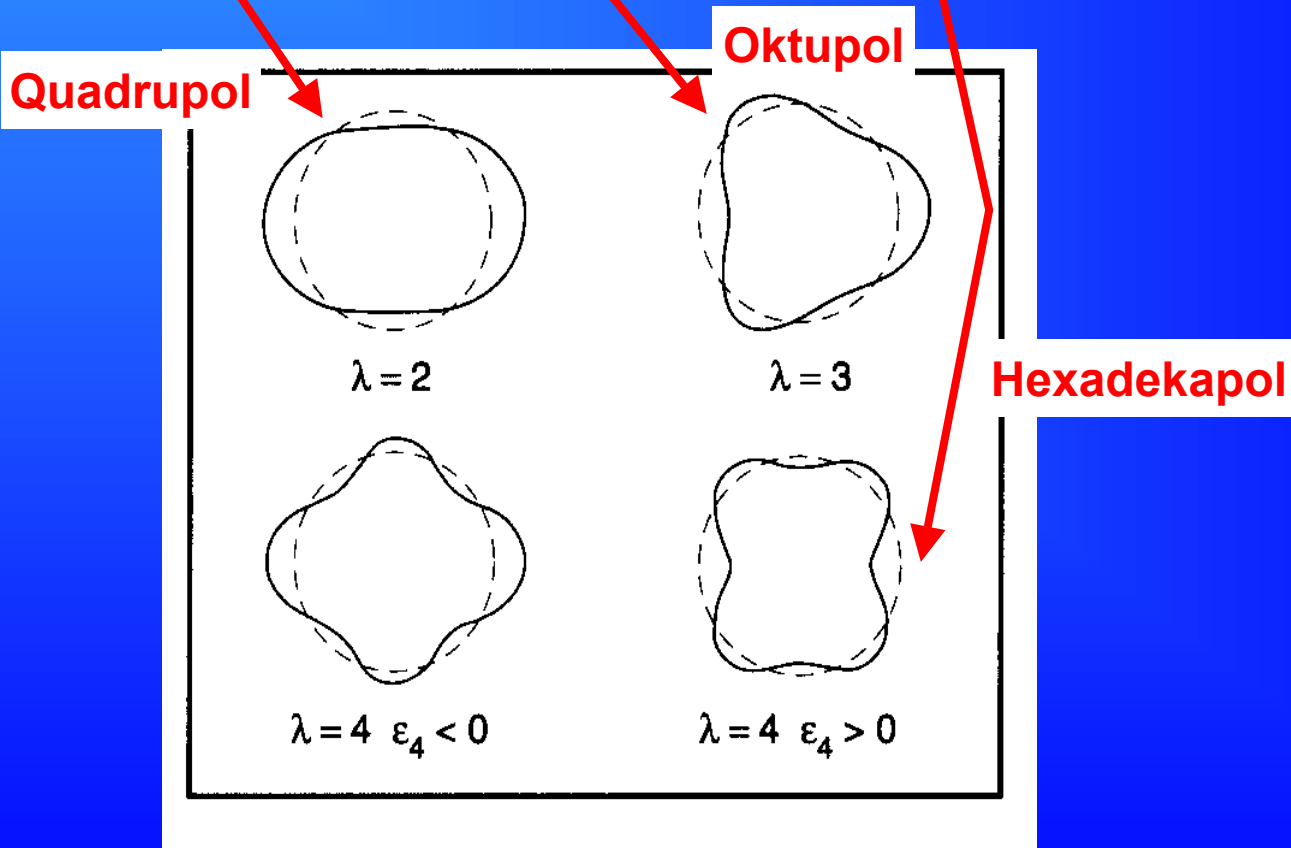
- ^{32}Mg , ^{56}Ni
- Super- und Hyperdeformation
- Spaltisomere
- Isotopenverschiebung in Hg
- **Formisomere und -koexistenz in $^{186,188}\text{Pb}$**

Kerndeformation 1

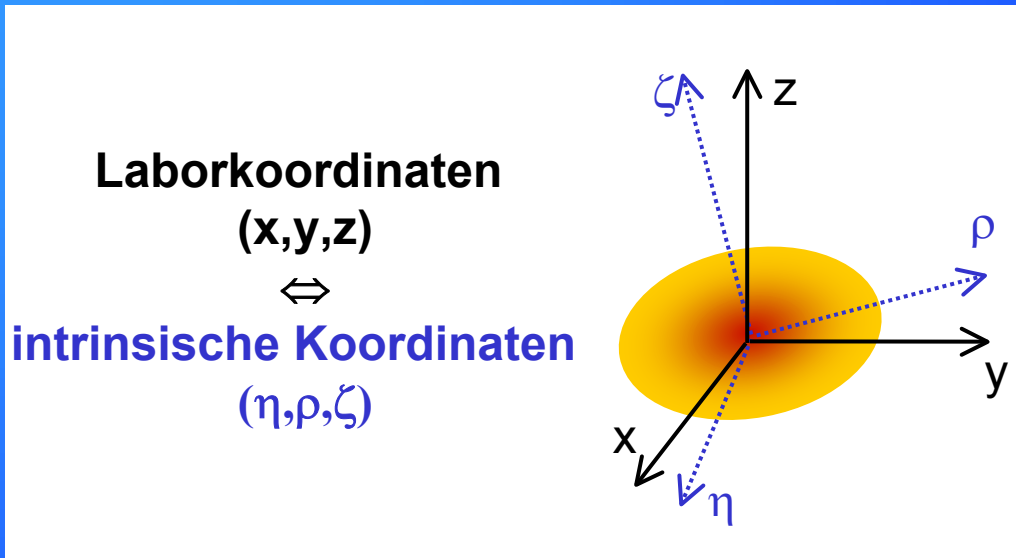
Entwicklung der Kernoberfläche in Kugelflächenfunktionen

Laborsystem

$$R = R_0 \left[1 + \sum_{\mu} \alpha_{2\mu} Y_{2\mu}(\theta, \Phi) + \sum_{\mu} \alpha_{3\mu} Y_{3\mu}(\theta, \Phi) + \sum_{\mu} \alpha_{4\mu} Y_{4\mu}(\theta, \Phi) + \dots \right]$$



Kerndeformation 2



Transformation zwischen
 Labor-
 und intrinsischem
 Koordinatensystem wird
 mittels der 3 Euler-Winkel
 $\Theta_{1,2,3}$
 durchgeführt!

Beschränkung auf Quadrupoldeformation

$$\alpha_{2\mu} = \sum_{\nu} a_{2\nu} D_{\mu\nu}^{(2)}$$

D : Drehmatrix

$$D_{MK}^{I*}(\theta_1, \theta_2, \theta_3) = \langle IM | e^{-i\theta_3 I_z} e^{-i\theta_2 I_y} e^{-i\theta_1 I_z} | IK \rangle$$

- Wahl der Achsen des intrinsischen Koordinatensystems identisch zu den Hauptträgheitsachsen der Ladungsverteilung ($a_{21} = a_{2-1} = 0$)
- Guter Drehimpuls I der Zustände bleibt erhalten und intrinsische Projektion K wird in Projektion im Labor M transformiert ... bzw. umgekehrt

Kerndeformation 3

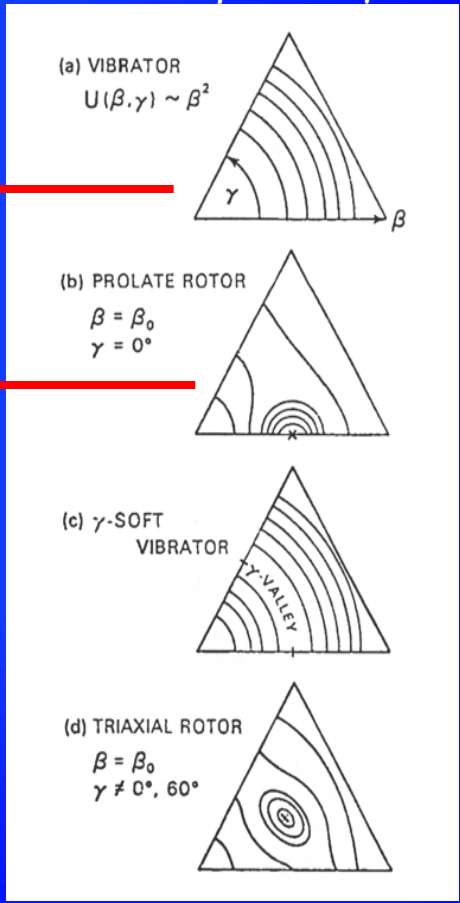
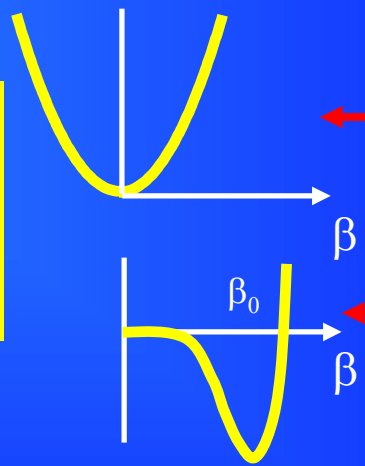
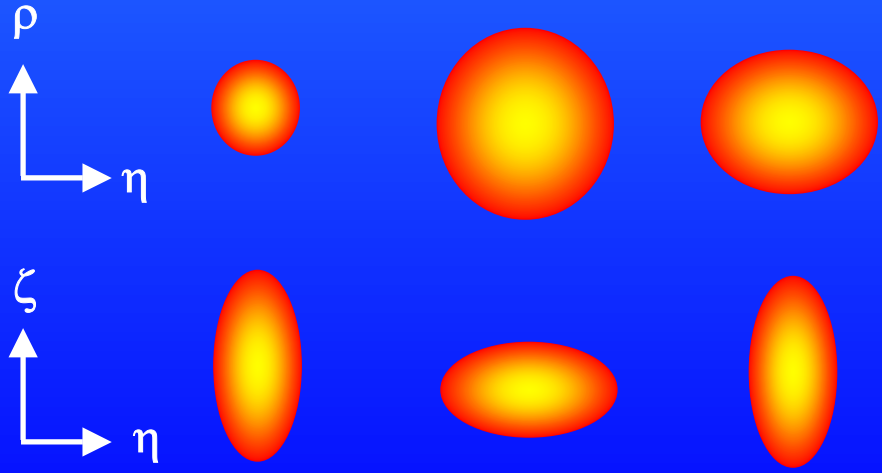
$$a_0 = \beta \cdot \cos \gamma$$

$$a_2 = a_{-2} = \frac{1}{\sqrt{2}} \beta \cdot \sin \gamma$$

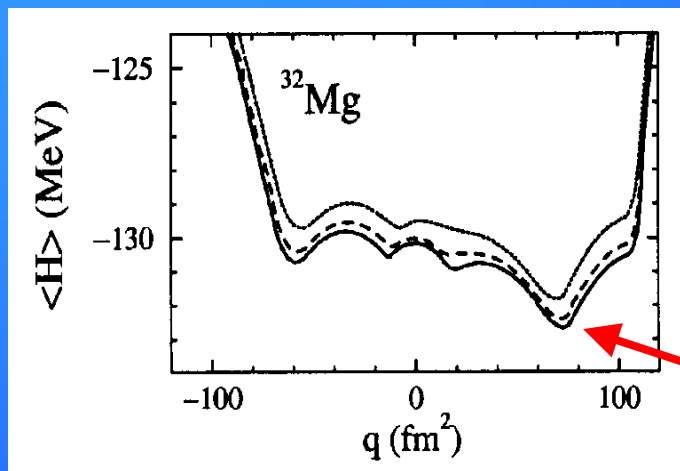
β – Quadrupoldeformation
 γ – Grad der Abweichung von axialer Deformation

Total Energy Surface (TES)
 Theoretisch berechnete totale Energie des Kerns als Funktion von β und γ

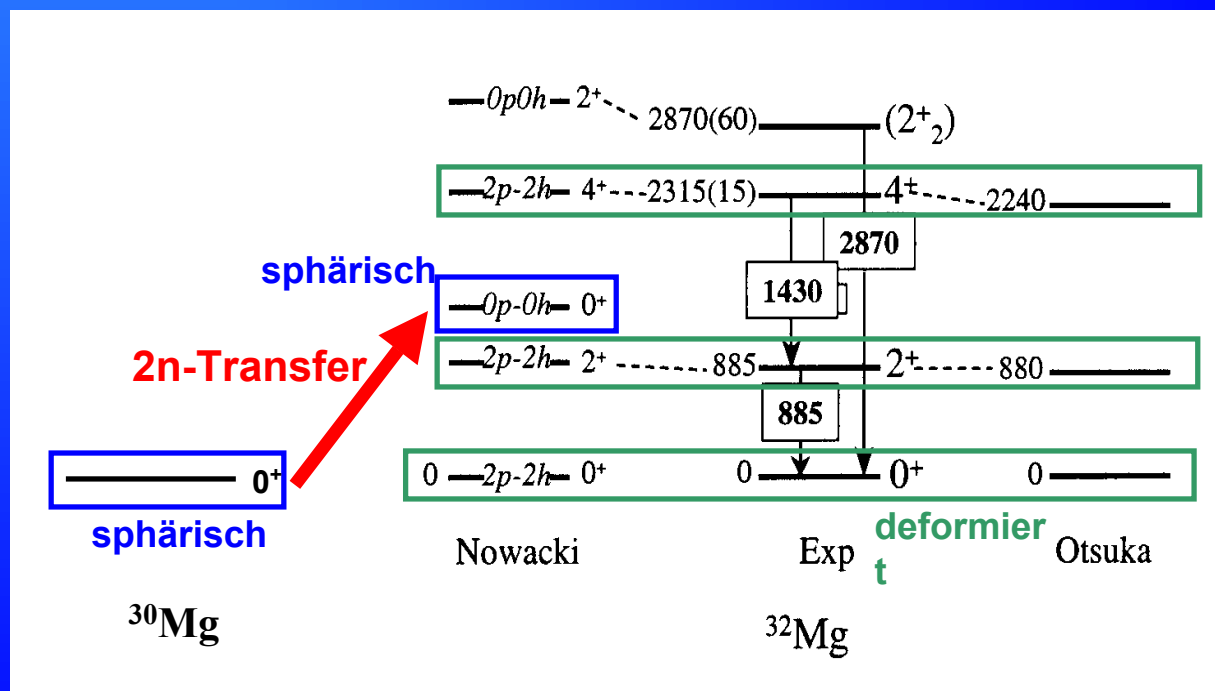
prolat	oblat	triaxial
$\beta > 0$	$\beta < 0$	$\beta > 0$
$\gamma = 0^\circ$	$\gamma = 60^\circ$	$\gamma = 30^\circ$



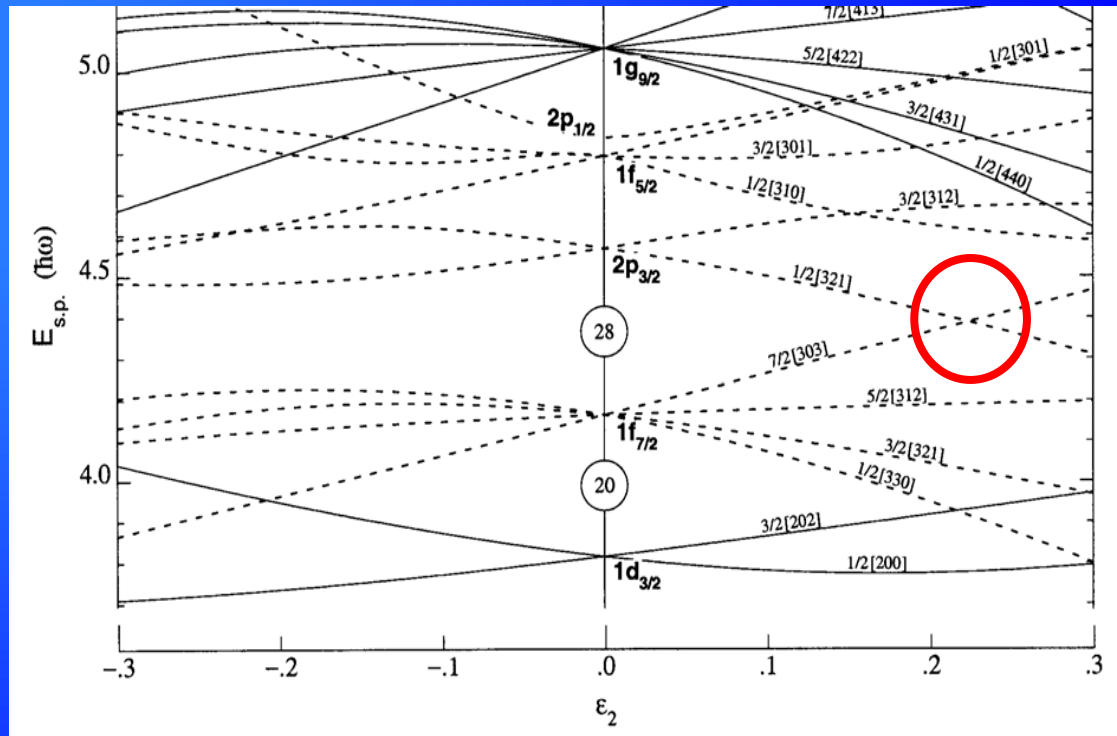
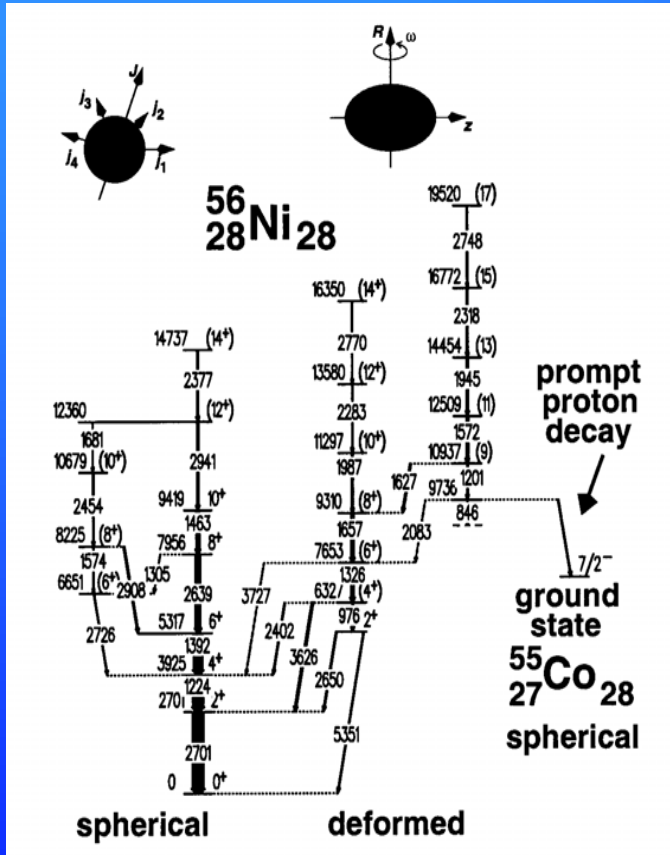
Formkoexistenz in ^{32}Mg



deformiert



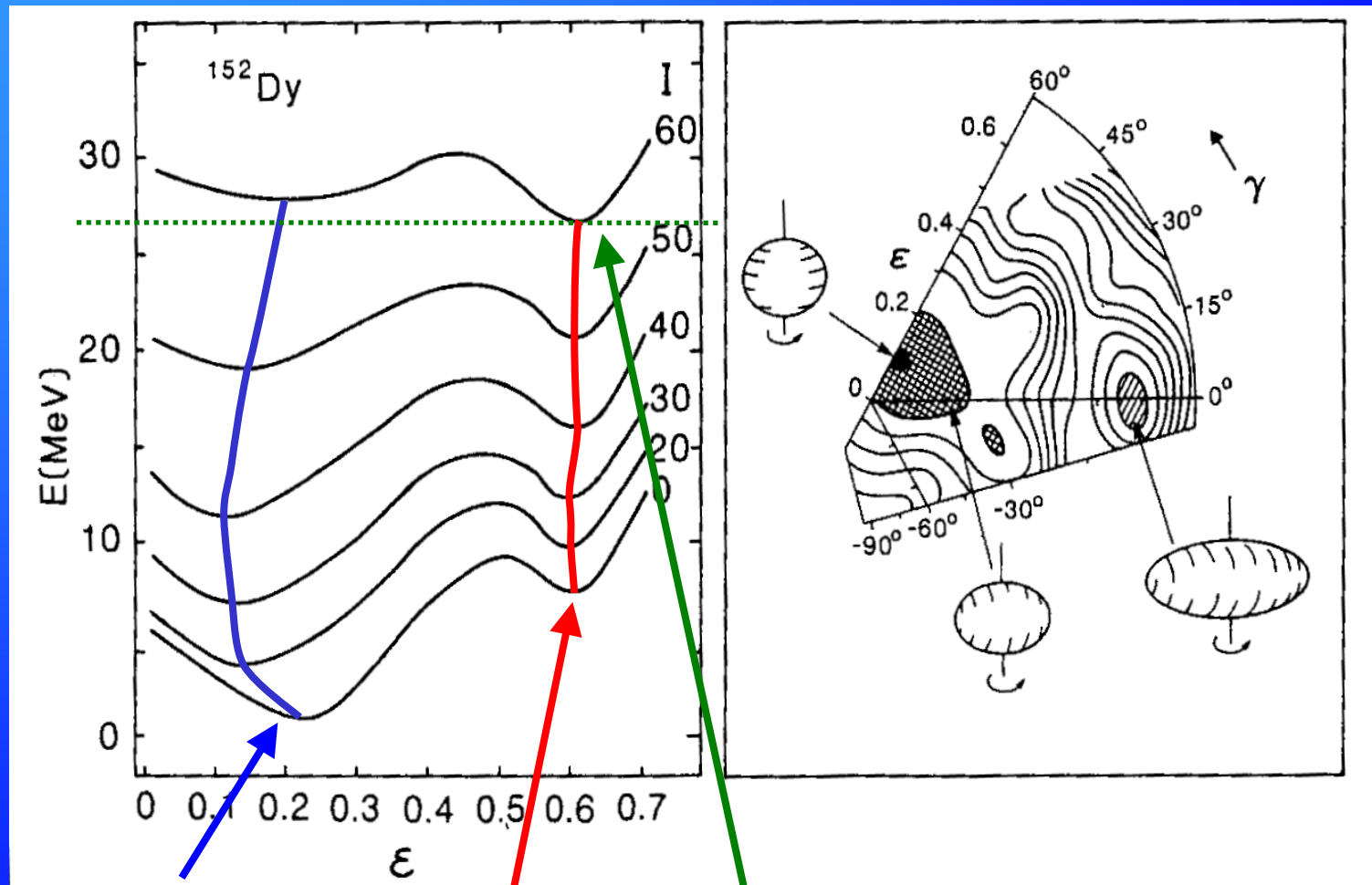
Formkoexistenz in ^{56}Ni



← oblat

prolat →

Formkoexistenz in ^{152}Dy



Prolates
ND Minimum

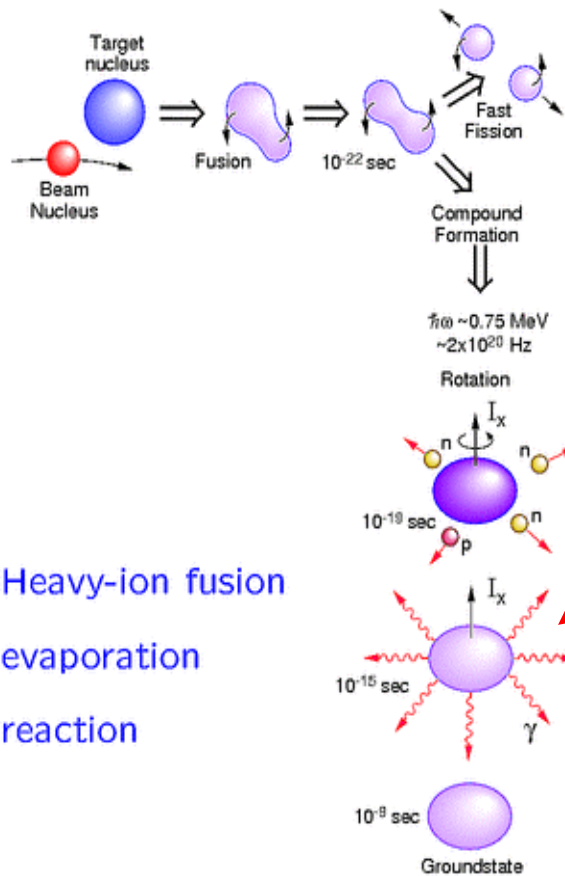
SD Minimum

SD Zustände werden bei $I \approx 60\hbar$ „yrast“!!

Hochspin-Spektroskopie

Bevölkerung von Kernen bei hohem Drehimpuls
in Fusion-Evaporation-Reaktion

EUROBALL

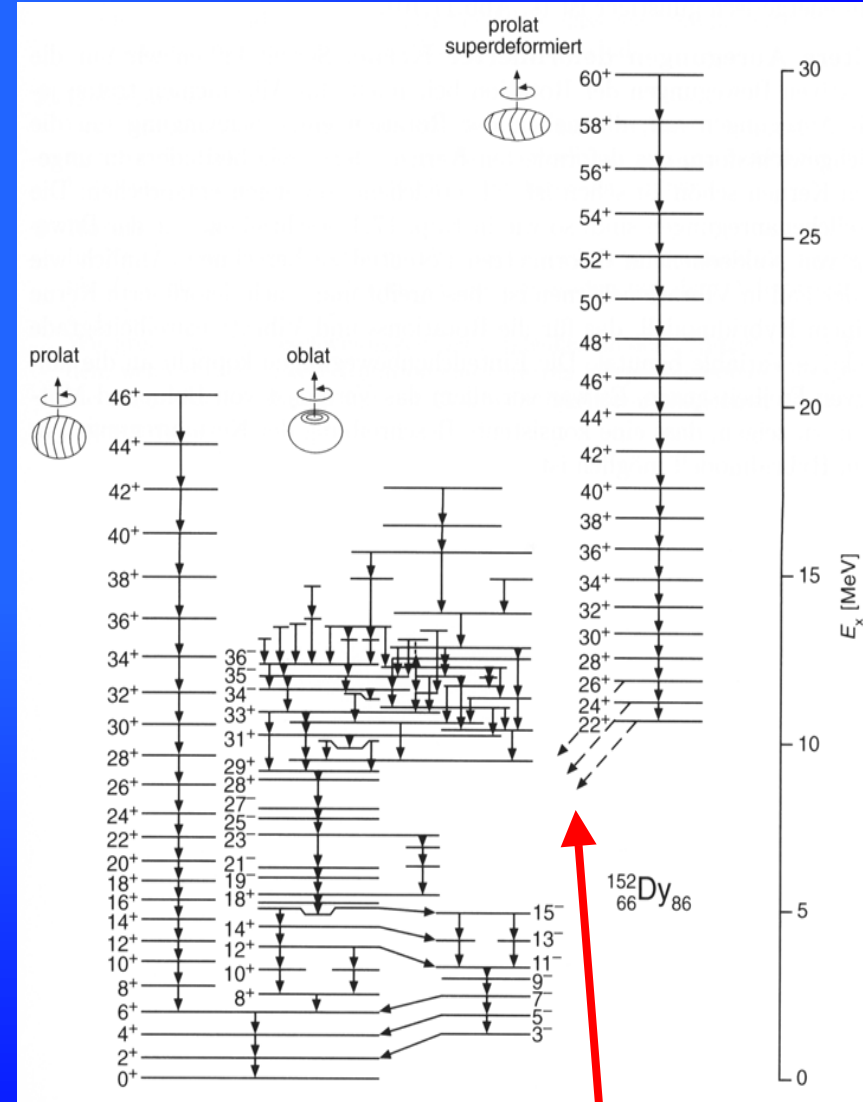
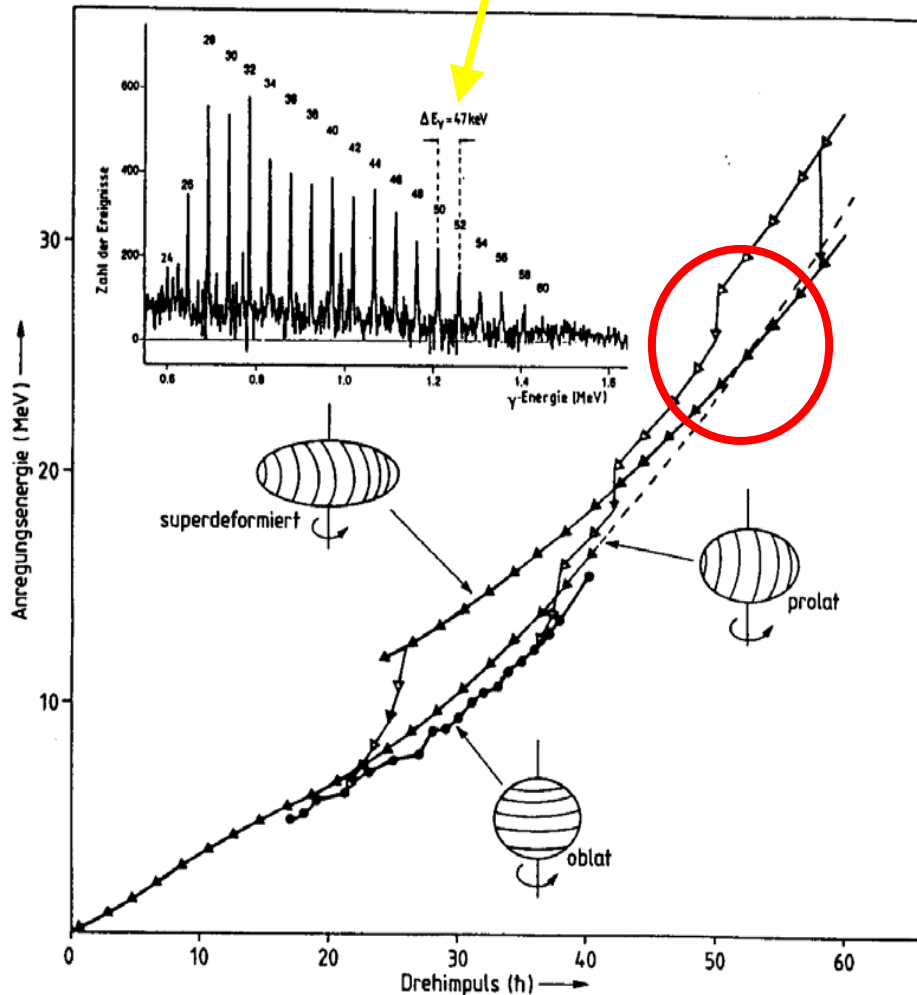


Heavy-ion fusion
evaporation
reaction



Formkoexistenz in ^{152}Dy

$$\Delta E_\gamma = E_\gamma(I+2) - E_\gamma(I) = \text{const.}$$

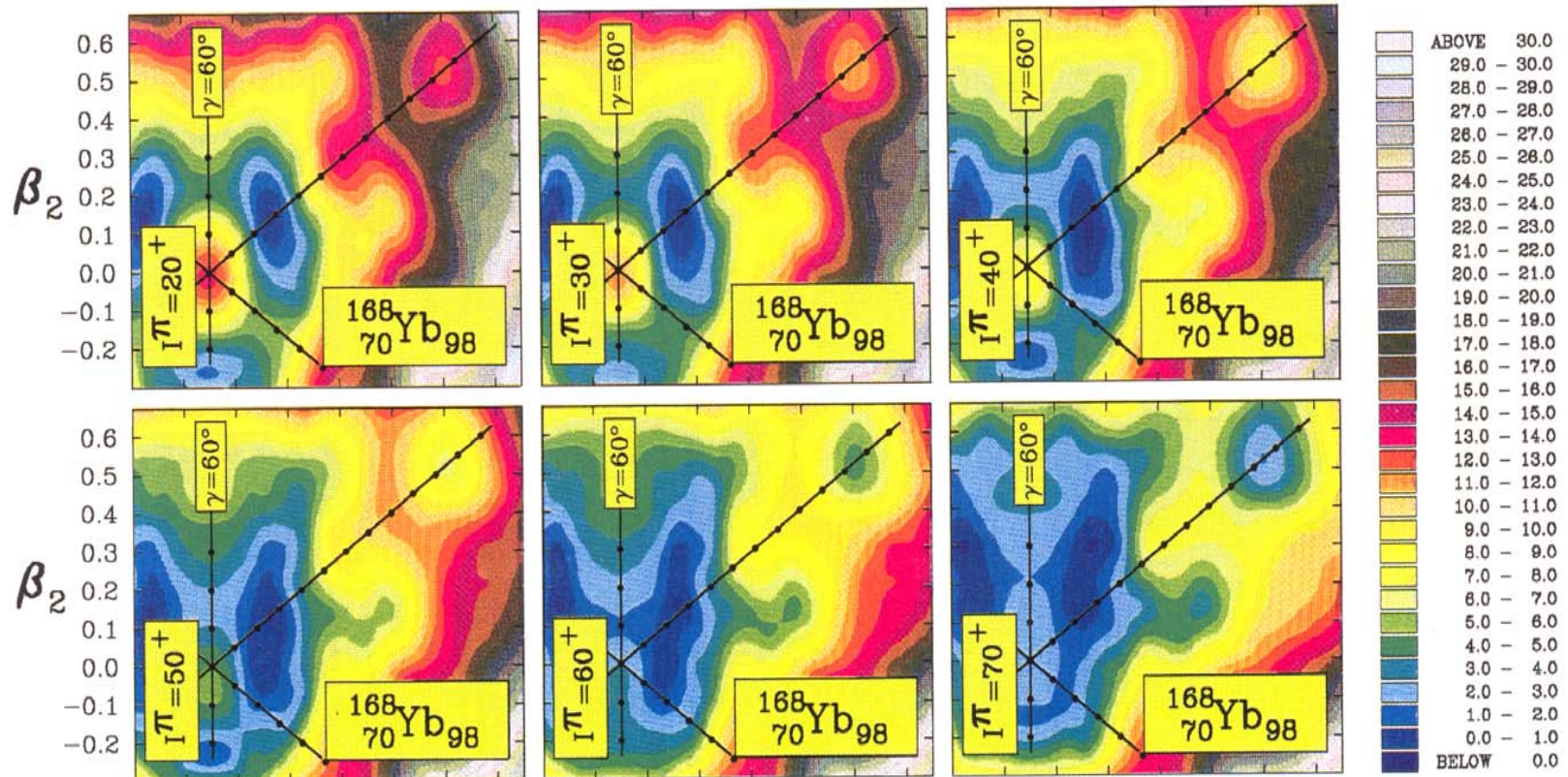


„linking transitions“ unbekannt

Hyperdeformation

Hyperdeformation - Kerne mit Achsenverhältnis 3:1

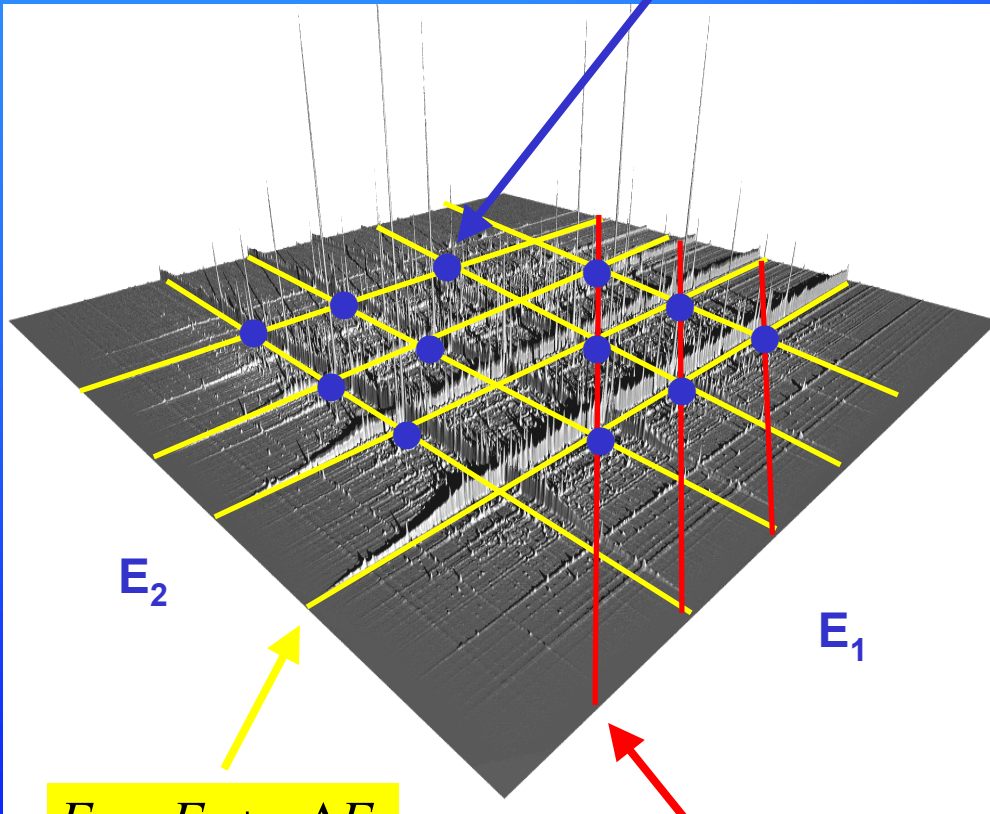
SHAPE EVOLUTION



Hyperdeformation in ^{152}Dy ?

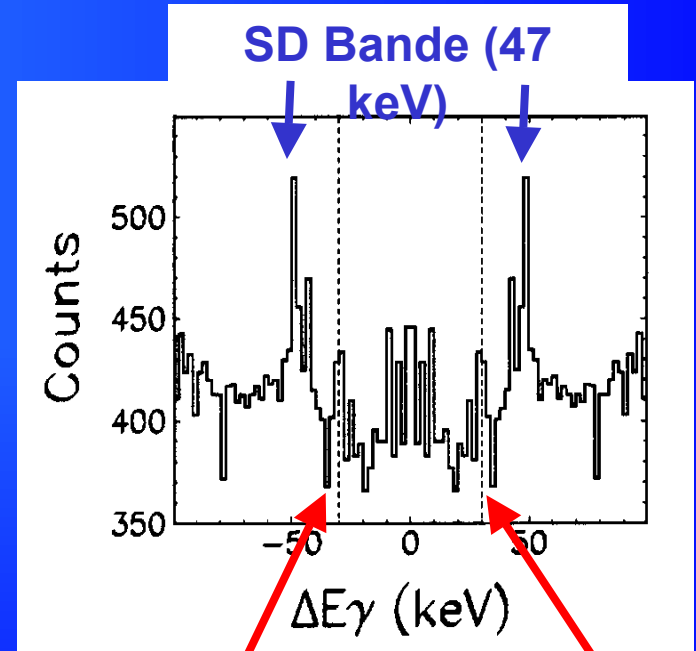
Koinzidenzen zwischen
Übergängen innerhalb einer Bande

$\gamma\gamma$ -Matrix



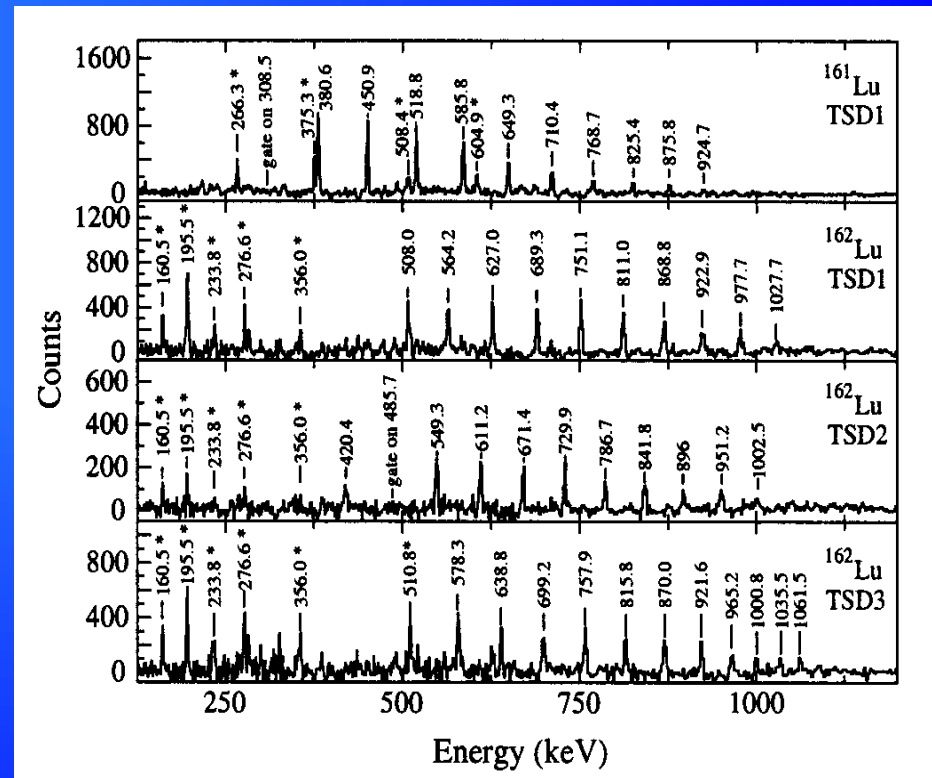
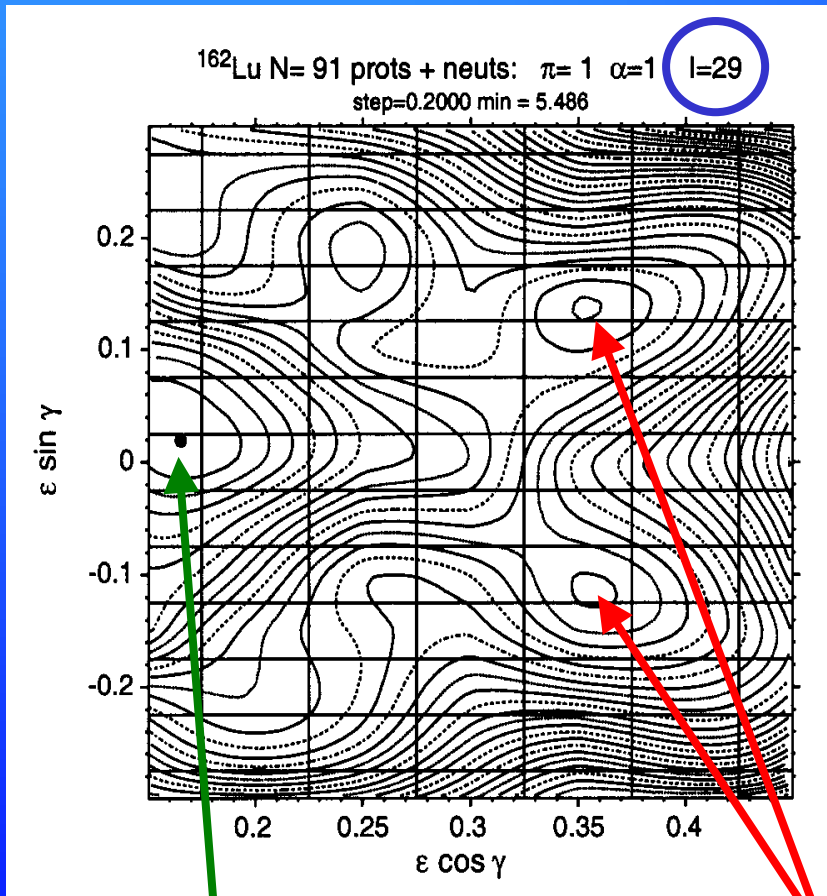
$$E_\gamma = E_0 + n\Delta E_\gamma$$

$$E_1 - E_2 = \Delta E_\gamma$$



HD Bande (≈ 30 keV)?

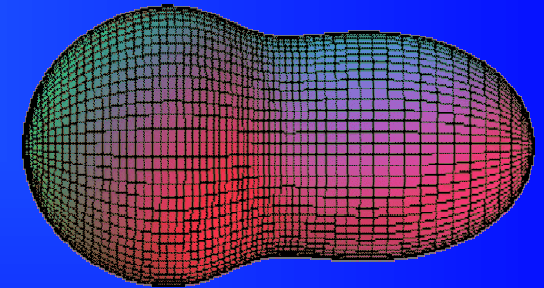
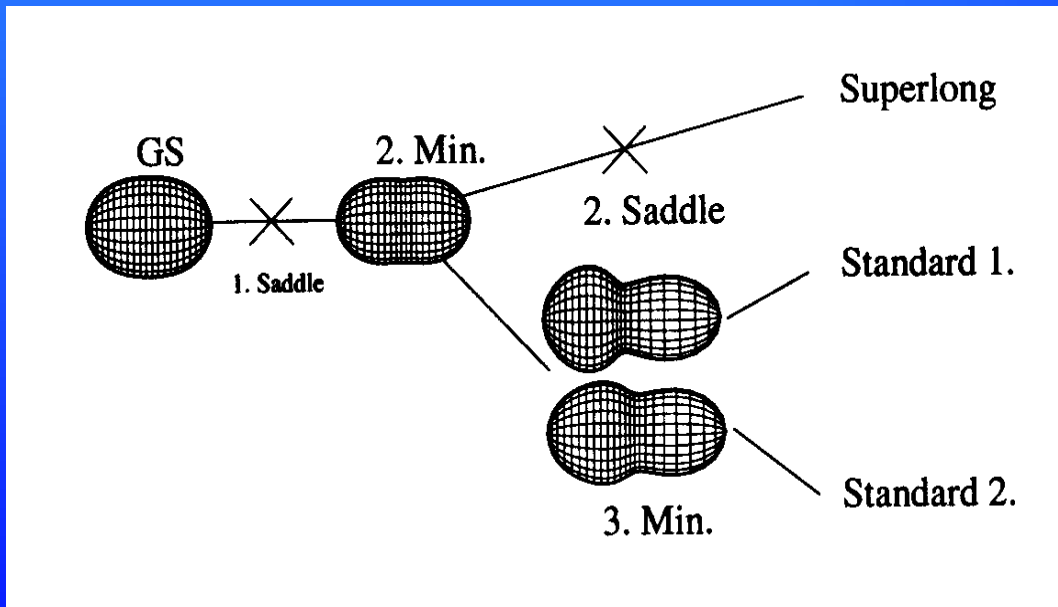
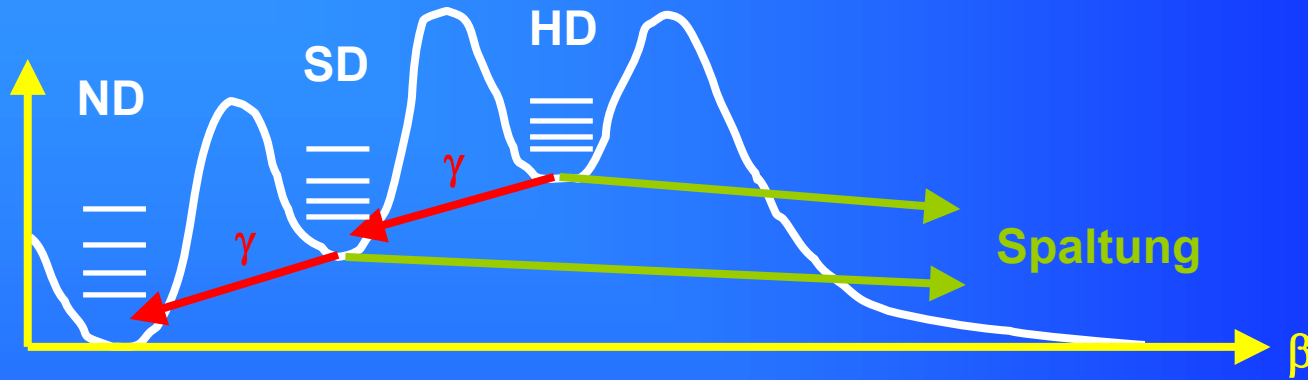
Triaxiale Superdeformation in Lu



ND Grundzustand $\varepsilon \approx 0.17$

Triaxiale SD (TSD) Minima bei $\gamma \approx \pm 20^\circ$ und $\varepsilon \approx 0.36$

Spaltisomere



^{232}U

Isotopenverschiebung in Hg

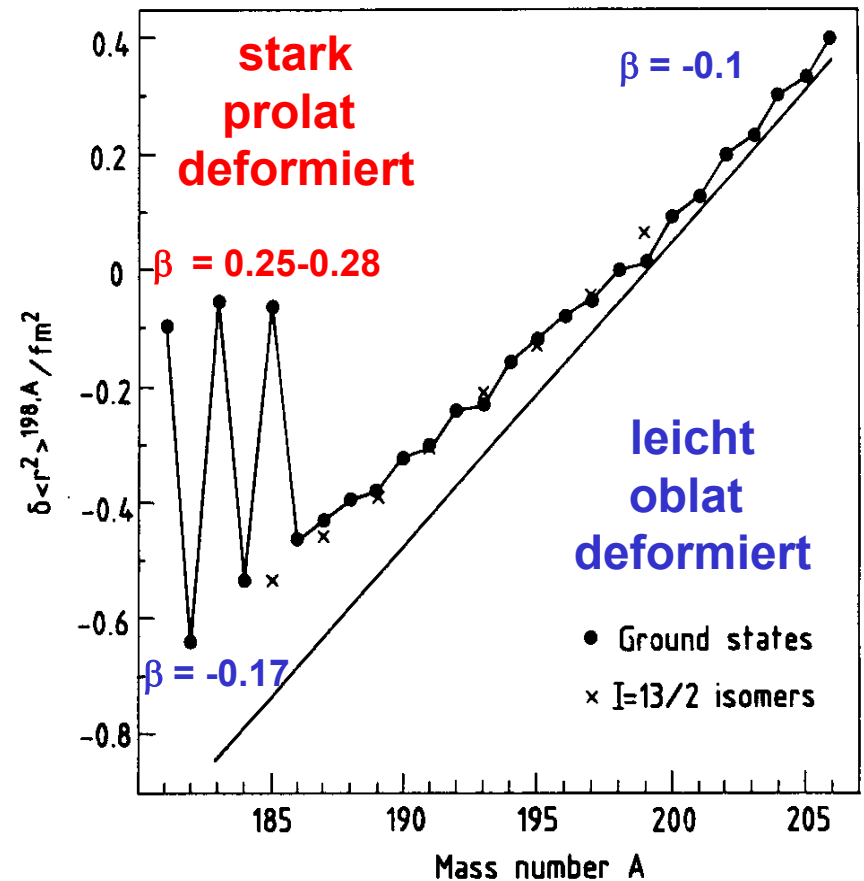
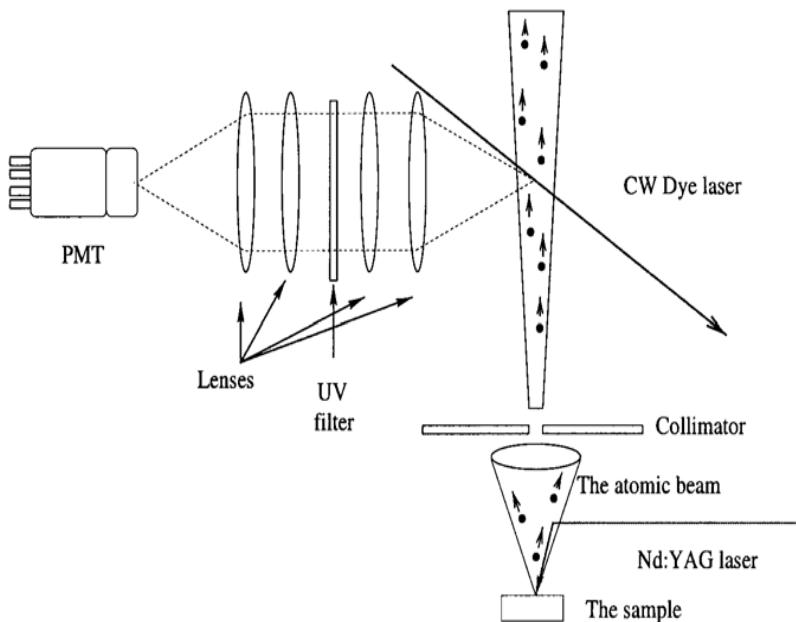
Isotopenverschiebung (IS) atomarer Übergänge

$$\delta\nu_{IS}^{A,A'} = \delta\nu_{Masse}^{A,A'} + \delta\nu_{Feld}^{A,A'} \quad \delta\nu_{IS}^{A,A'} / \nu \approx 10^{-6}$$

$$\delta\nu_{Feld}^{A,A'} = F_{Elektronen} * \left(\delta\langle r^2 \rangle^{A,A'} + \dots \right)$$

Mittlerer quadratischer Ladungsradius
 $\langle r^2 \rangle$

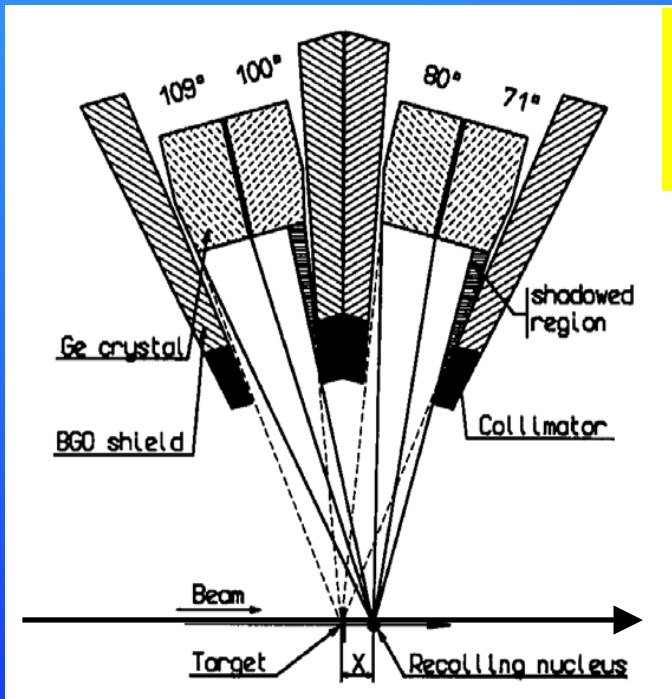
Kollineare Laserspektroskopie



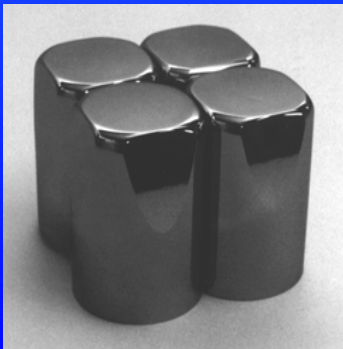
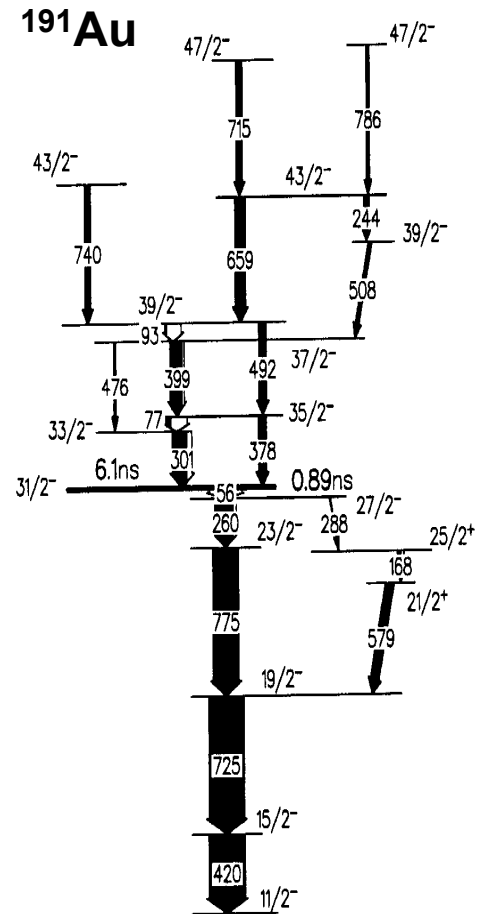
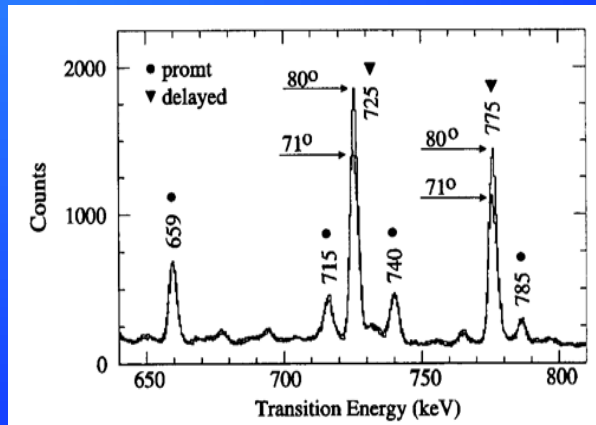
Lebensdauerermessung von Isomeren

RSAM

Recoil Shadow Anisotropy Method



$$A = \frac{I_\gamma(80^\circ) - I_\gamma(71^\circ)}{I_\gamma(80^\circ) + I_\gamma(71^\circ)} = f(\tau)$$

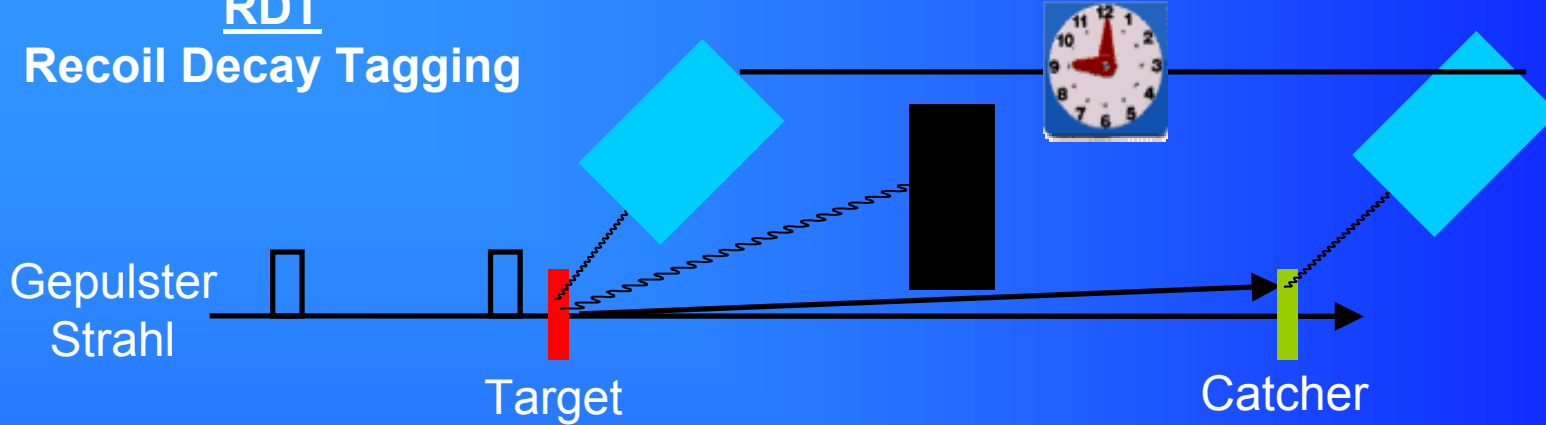


CLOVER

Formisomere in ^{188}Pb

RDT

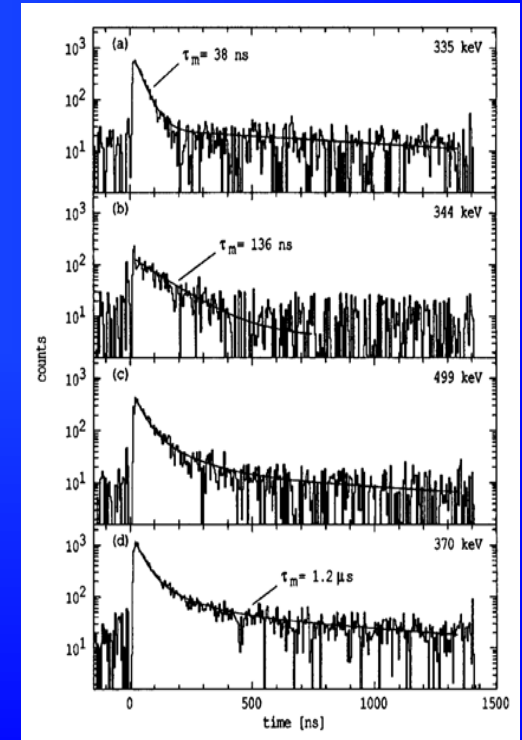
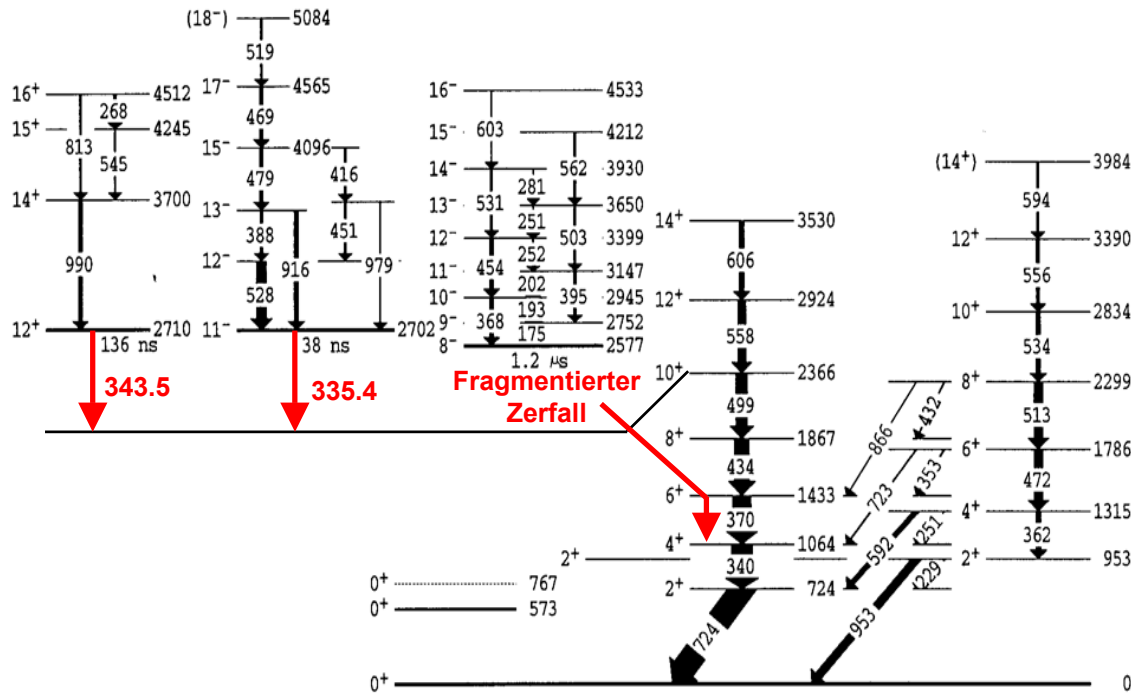
Recoil Decay Tagging



sphärisch

$K^\pi = 11^-$

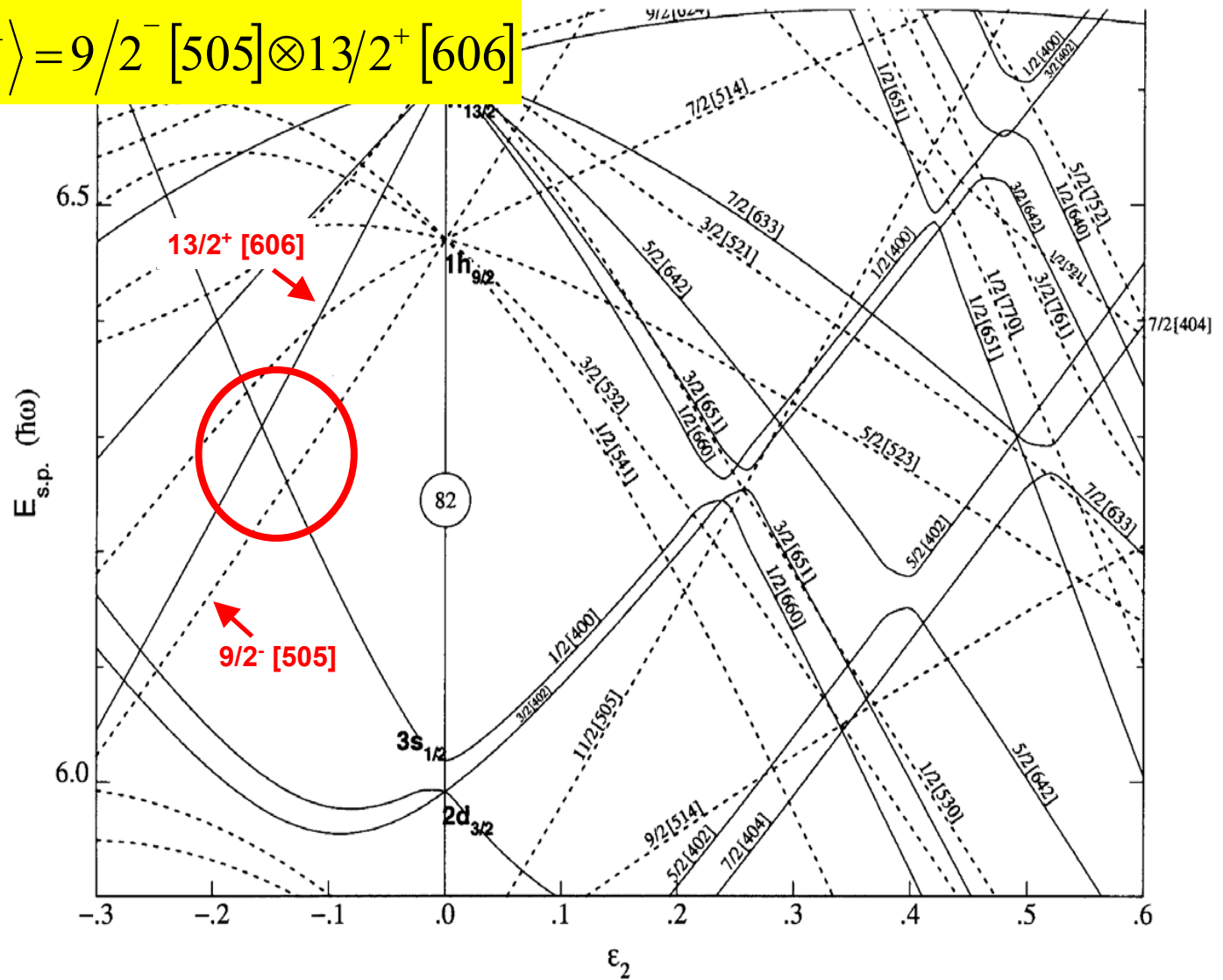
$K^\pi = 8^-$



Nilsson-Orbitale für Protonen

$$|I^\pi = 11^-, K^\pi = 11^-\rangle = 9/2^- [505] \otimes 13/2^+ [606]$$

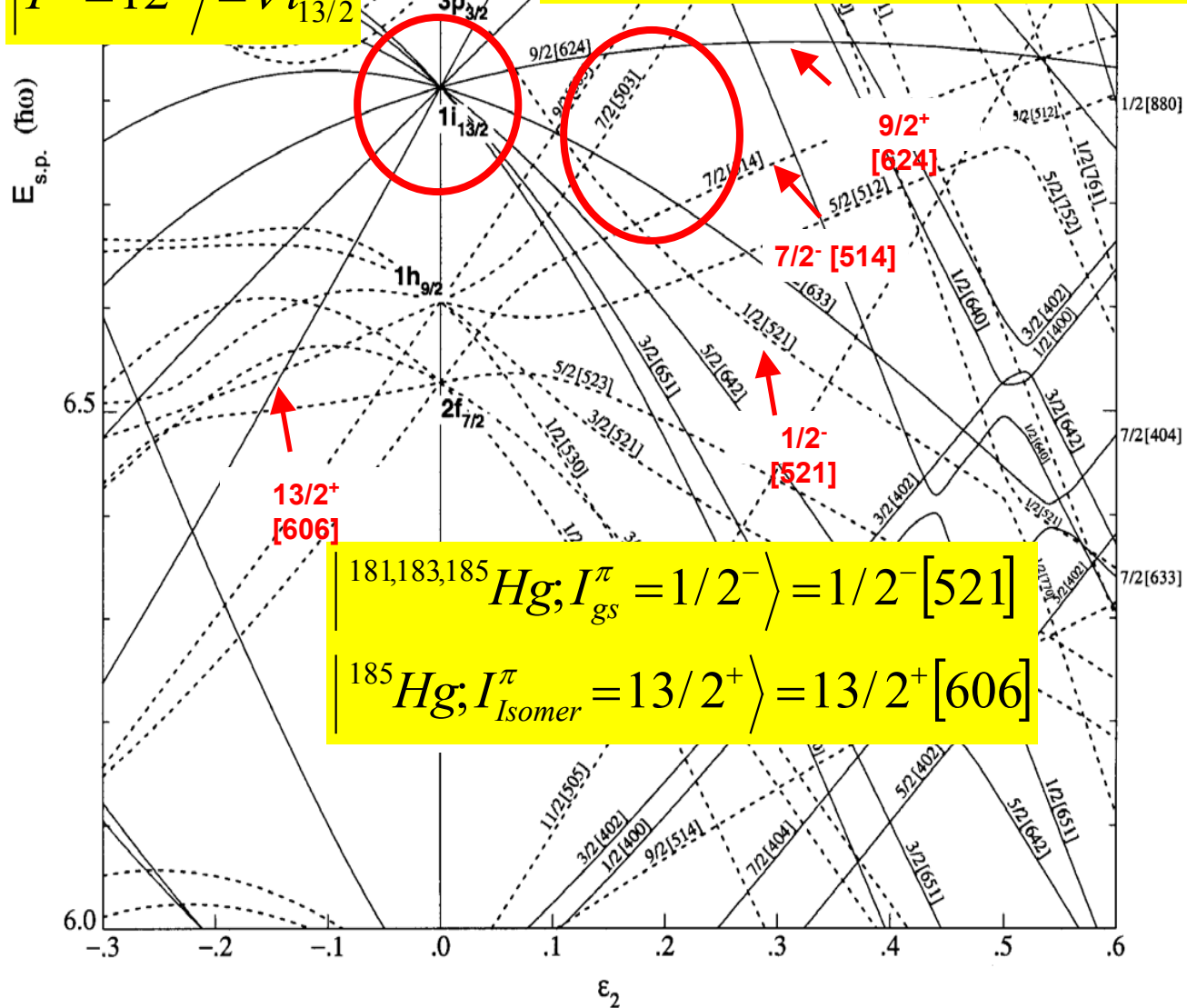
Nilsson-
Quantenzahle
n
 $j^\pi[N, n_z, l_z]$



Nilsson-Orbitale für Neutronen

$$|I^\pi = 12^+\rangle = \nu i_{13/2}^{-2}$$

$$|I^\pi = 8^-, K^\pi = 8^-\rangle = 9/2^+ [624] \otimes 7/2^- [514]$$



$$^{181,183,185}\text{Hg}; |I_{gs}^\pi = 1/2^-\rangle = 1/2^- [521]$$

$$^{185}\text{Hg}; |I_{\text{Isomer}}^\pi = 13/2^+\rangle = 13/2^+ [606]$$

Formkoexistenz in ^{188}Pb - Rotationsbanden

Intensitäten der Inband-Übergänge in Koinzidenz mit Interband-Übergängen lassen sich nur unter Hinzunahme von E0-Übergängen erklären

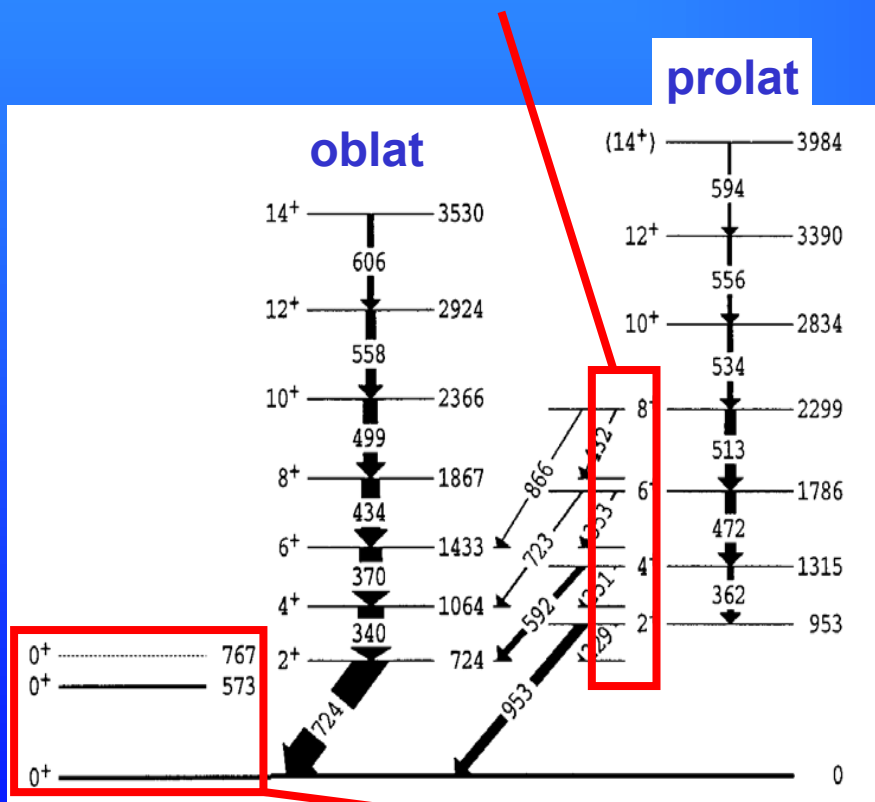
Bandenmischung

$$\alpha_{total} = \alpha(E2) + \Gamma_e(E0) / \Gamma_\gamma(E2)$$

$$\Gamma(E0; J \rightarrow J) \propto \left(a\sqrt{1-a^2} [(\beta_1)^2 - (\beta_2)^2] \right)^2$$

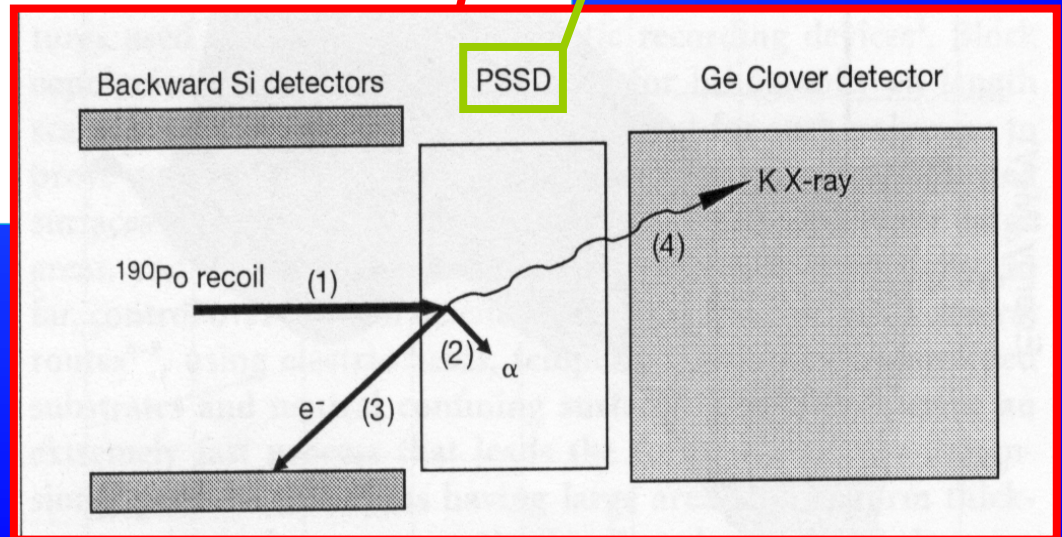
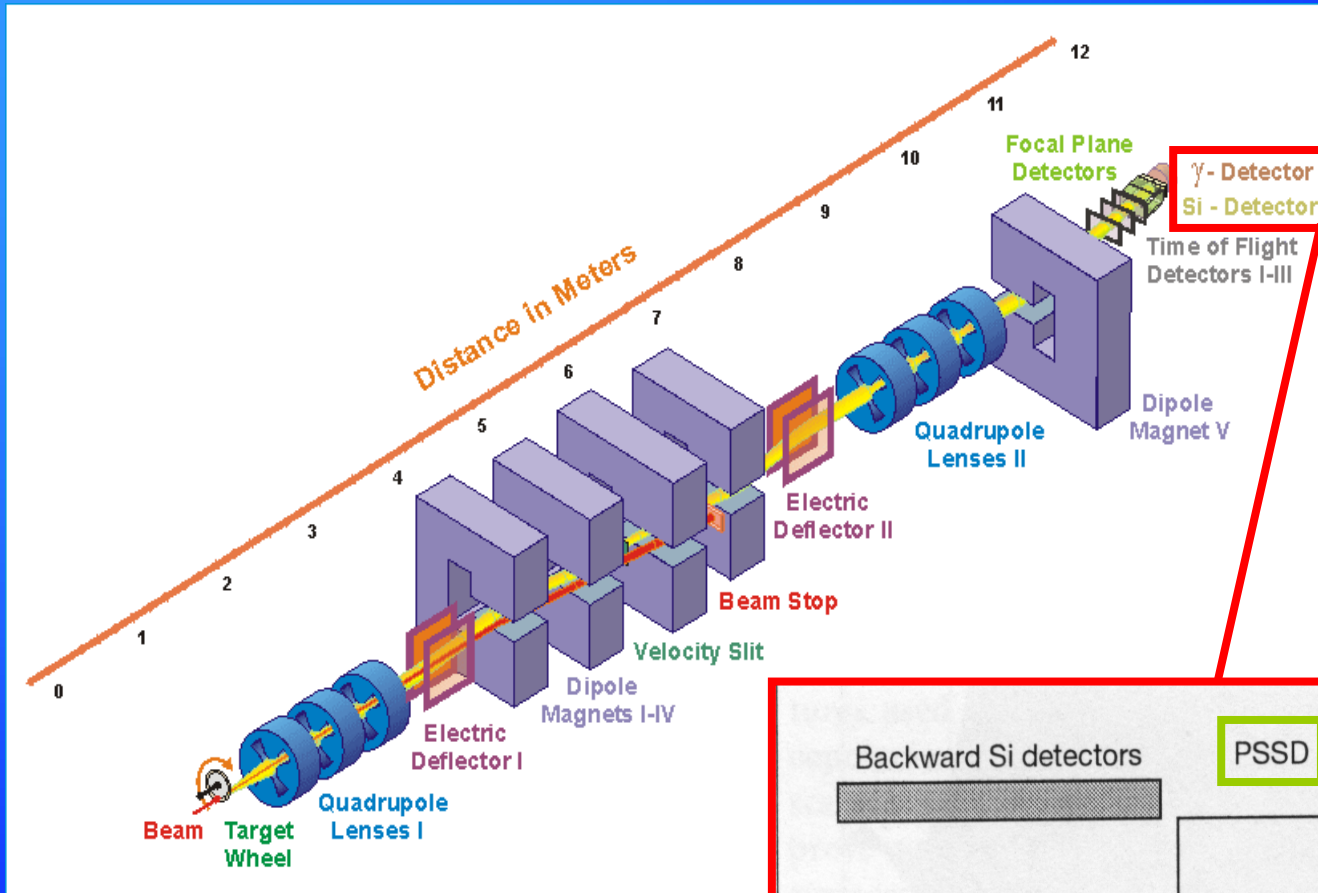
$$\Gamma(E2; J \rightarrow J) \propto \left(a\sqrt{1-a^2} [\beta_1^2 - \beta_2^2] \right)^2$$

β_1 und β_2 müssen verschieden sein, ergo: **Formkoexistenz!!!**

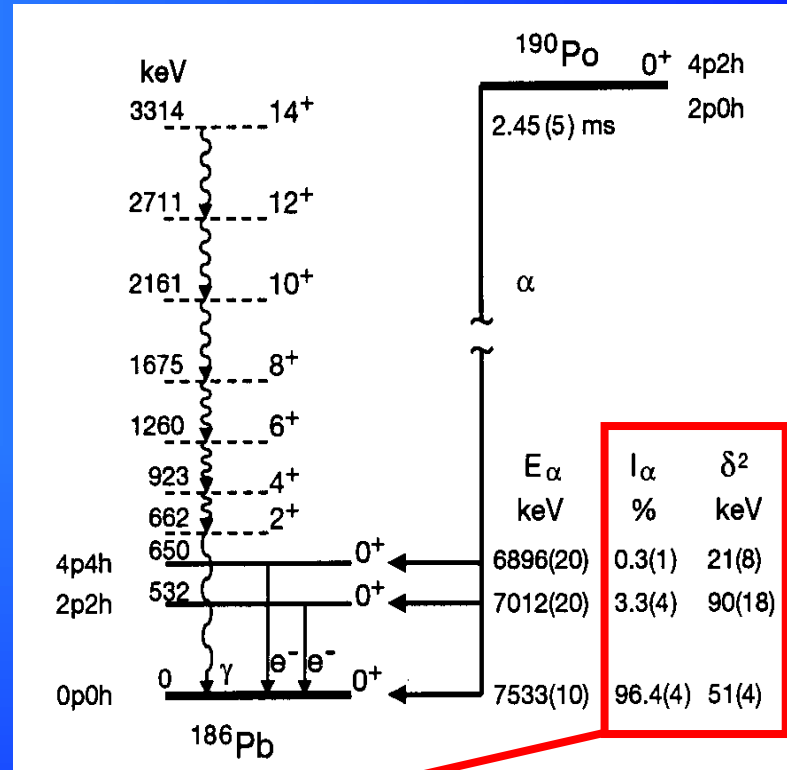
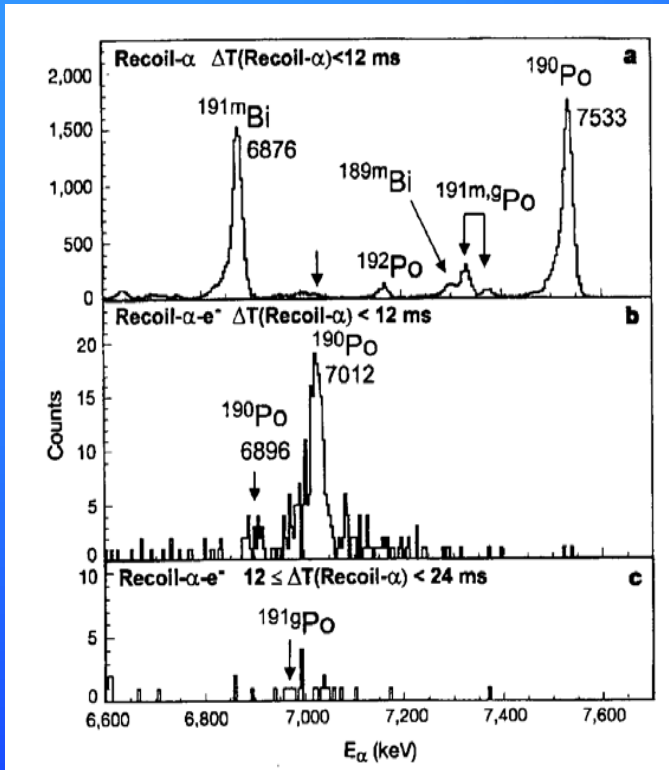


	sphärisch	prolat	oblat
$0_{g.s.}^+$	95%	4%	1%
0_2^+	2%	15%	83%
0_3^+	3%	81%	16%
β	0.0	0.2	-0.13

SHIP@GSI



Formkoexistenz in ^{186}Pb – α -Spektren



prolat
oblat
sphärisch

Reduzierte α -Breite δ^2 :
Maß für Bildung eines
 α -Teilchens im Kern
 \Leftrightarrow Konfiguration

$$\delta^2 = \frac{h \ln(2) I_\alpha}{T_{1/2} 100P}$$

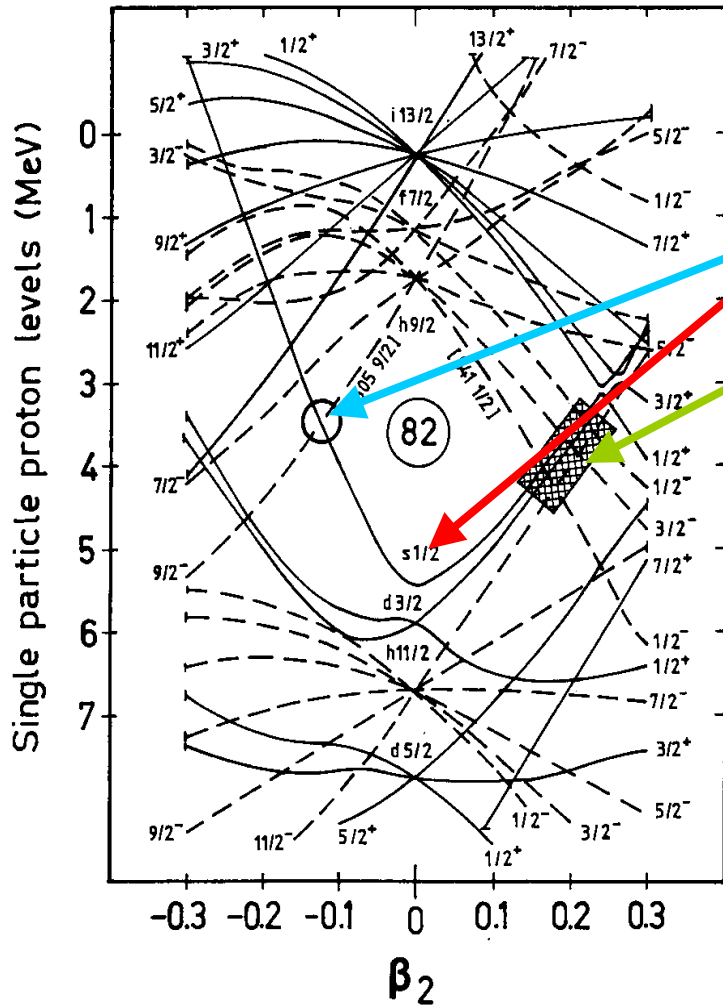
$$\delta \propto \langle Pb \otimes \alpha | A_\alpha^+ | Po \rangle$$

Grosser Überlapp: (nur Protonen)
|Po; 2p-0h> \rightarrow |Pb; 0p-0h>
|Po; 4p-2h> \rightarrow |Pb; 2p-2h>

“Penetration”-Faktor P hängt von Form
ab!!!

Analogie: spektroskopische Faktoren

Formkoexistenz in ^{186}Pb



2p-2h 0p-0h 4p-4h

Protonen-Konfigurationen

